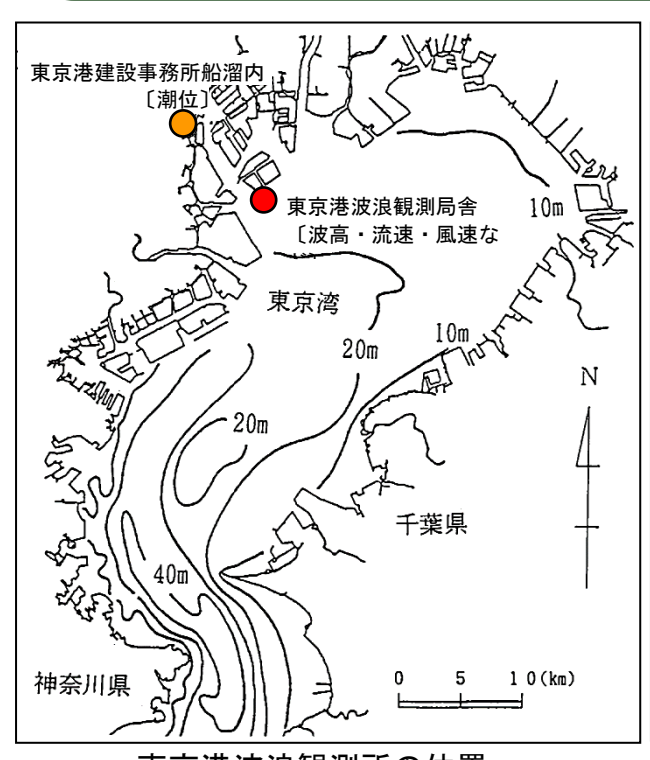
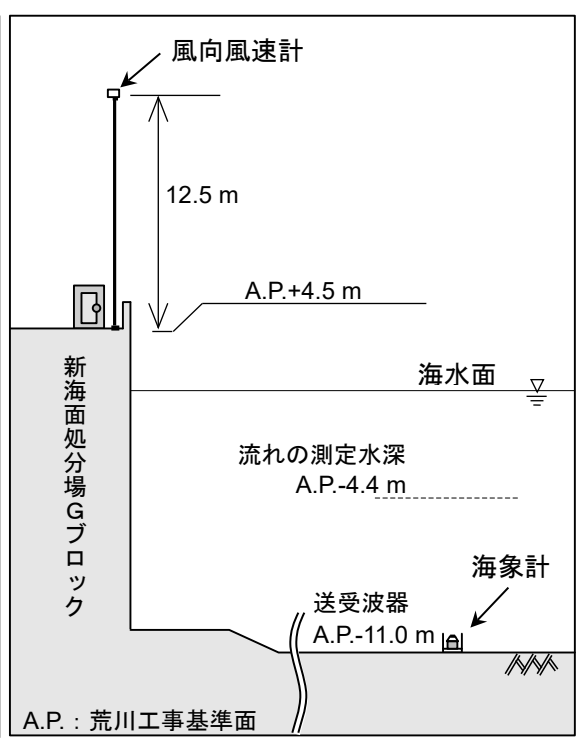
東京港波浪観測年報(令和6年版)

東京港は南東に開口部を有し、比較的水深の浅い東京湾の最奥部に位置するため、高潮の影響を受けやすい地形にあります。東京都港湾局では、高潮対策として昭和38年に波浪観測を開始し、昭和43年からは東京灯標にて、基本的なデータである波浪、潮位及び風の観測を行ってきました。東京灯標の廃止に伴い、平成22年10月からは観測地点を新海面処分場Gブロック南側護岸付近と港区港南の東京港建設事務所船溜内に移転し、観測を継続しています。観測の成果は、毎年「東京港波浪観測年報」として取りまとめていますが、このページではその一部を紹介しています。東京港における様々な港湾活動に携わる関係機関をはじめ、多くの方々に活用していただければ幸いです。

なお、「東京港の潮位と波浪」のサイトには「東京港波浪観測 40 年報」も掲載しておりますので、あわせてご覧いただければ、より一層のご理解のお役に立てることと存じます。



東京港波浪観測所の位置



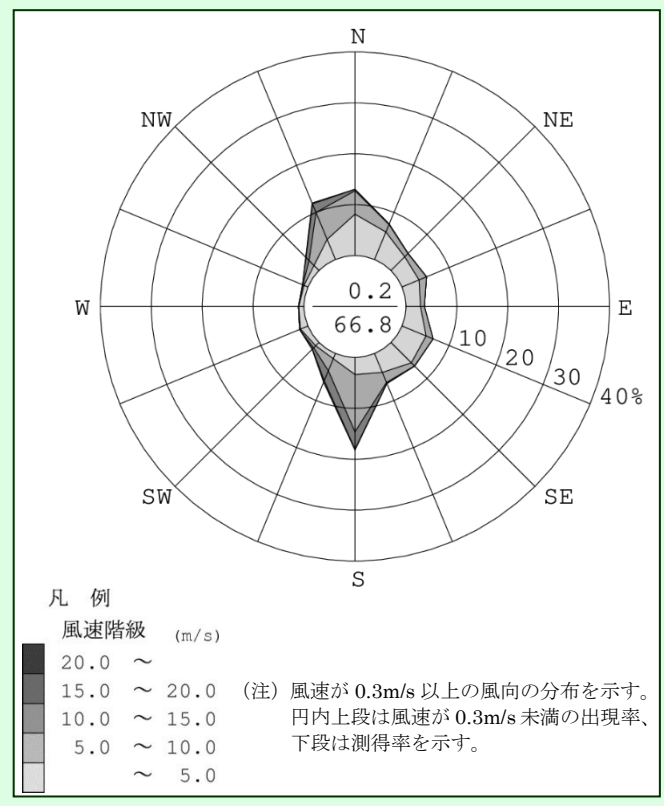
海象計と風向風速計の設置状況

観測装置の緯度・経度

| 計 器 名 | 緯度・経度 | | | | | | | | |
|----------|--------------------------------------|--|--|--|--|--|--|--|--|
| 超音波風向風速計 | 北緯 35 度 34 分 44 秒 東経 139 度 48 分 50 秒 | | | | | | | | |
| 海象計 | 北緯 35 度 34 分 35 秒 東経 139 度 48 分 56 秒 | | | | | | | | |
| フース型検潮儀 | 北緯 35 度 38 分 02 秒 東経 139 度 45 分 09 秒 | | | | | | | | |

風の観測結果

風 配 図 令和6年(2024年)



最多風向は南で、次いで北であり、北北西も多く出現しています。10 m/s を超える強風の最多風向は南です。季節ごとの最多風向は、春、夏、秋が南、冬が北北西でした。

風速 1 m/s ごとの階級別の 出現頻度で見ると 2.0~2.9 m/s が 15.3 %で最も多く、 10.0 m/s 以上の強風は 10.2 % でした。

令和 6年の最大風速は 4 月 9日 10 時 20 分に観測された 22.7 m/s の南風でした。前線を 伴う低気圧の通過によって強 い風が吹いていました。

※ 風の観測は令和6年9月1日14時以降長期欠測しているため、令和6年9月1日13時までの データで統計処理を行った。

強風順位表 令和6年(2024年)

東京港:東京港波浪観測所

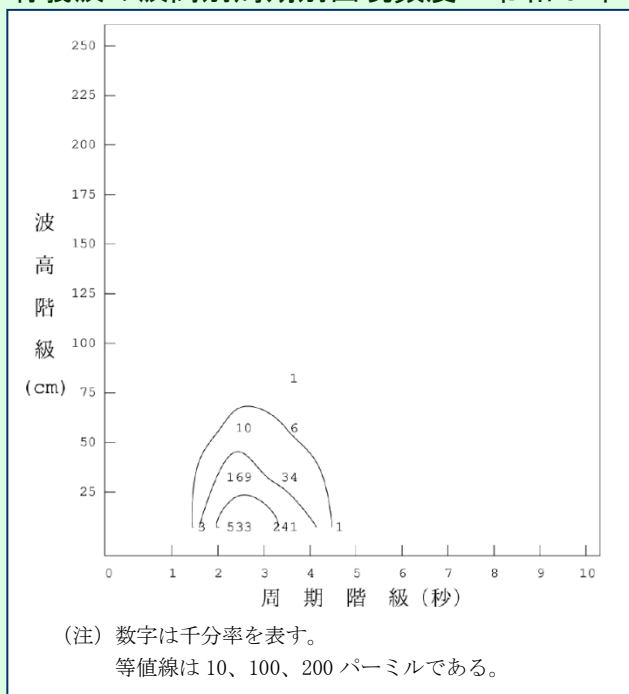
| 順位 | 位 風速 風向 | | 起時 | | 有郭 | 衰波 | 波向 | 流向 | 流速 | 潮位 | 潮位偏差 | 要因 |
|--------|---------|-----|-------|-------|-------|---------------|-----|---------|--------|------|------|-------------|
| 川只117. | (m/s) | 風田 | 起时 | | 波高(m) | 周期(秒) | 巡回 | (JILIP) | (cm/s) | (cm) | (cm) | 安 囚 |
| 1 | 22.7 | S | 4月9日 | 10:20 | 0.97 | 3.6 | SSE | ENE | 12 | 36 | 29 | 前線を伴う低気圧の通過 |
| 2 | 21.9 | S | 5月28日 | 21:30 | 1.08 | 4.2 | SSE | S | 4 | 196 | 28 | 前線を伴う低気圧の通過 |
| 3 | 21.8 | SSW | 3月29日 | 12:30 | 0.92 | 3.6 | SSE | NE | 9 | 62 | 38 | 日本海低気圧及び前線 |
| 4 | 19.0 | S | 5月16日 | 18:30 | 0.71 | 3.1 | SE | S | 1 | 102 | 20 | 前線を伴う低気圧の通過 |
| 5 | 18.4 | SSW | 7月1日 | 3:20 | 0.64 | 3.3 | SSE | NW | 7 | 126 | 20 | 前線の通過 |
| 6 | 18.3 | S | 5月13日 | 7:10 | 0.67 | 3.2 | SSE | NNE | 3 | 177 | 18 | 前線の通過 |
| 7 | 18.0 | NW | 3月20日 | 18:40 | 0.53 | 3.0 | WNW | NNW | 2 | 67 | 6 | 日本海低気圧及び前線 |
| 8 | 17.7 | NW | 4月19日 | 10:30 | 0.37 | 2.6 | NW | WNW | 24 | 107 | 4 | 前線を伴う低気圧の通過 |
| 9 | 17.6 | SSW | 7月10日 | 20:30 | 0.61 | 2.9 | S | SSE | 4 | 199 | 16 | 前線の通過 |
| 10 | 17.1 | SSW | 3月17日 | 14:50 | 0.61 | 3.1 | SE | ESE | 21 | 68 | 16 | 日本海低気圧及び前線 |

※風速の統計は、毎10分の観測値を用いた。その他の要素は、毎正時の観測値である(30分は切り上げ)。 ※同一の要因で2つ以上が10位までに入った場合は下位の方を除外した。 ※「一」は欠測。

※ 風の観測は令和6年9月1日14時以降長期欠測しているため、令和6年9月1日13時までの データで統計処理を行った。

波浪の観測結果

有義波の波高別周期別出現頻度 令和6年(2024年)



有義波は波高 0~25 cm、 周期 2.0~3.0 秒の出現頻度 が最も多く、53.3 %を占めて います。波向を特定する有義 波高 25 cm 以上の出現頻度 は、年間では 22.1 %でした。 波向は東北東~南南東が、そ れぞれ 3~5%程度と比較的 多く出現していました。

令和6年の最大有義波高は 1.19 mで、前線を伴う低気圧 の通過時に発生していまし た。

有義波高順位表 令和6年(2024年)

| | | S. F. | · · | 4 | 3 m.1 | |
|----|----|-------|-----|---|--------------|---|
| 鬼児 | 京港 | 波 | 很 | 観 | 測 | 肵 |

| | | | | | | | | | | | | | | 木 小 色 汉 武 既 例 万 |
|------|---------|-----------|-----|--------|-------|-----|----|---------------|------|---------|--------|------|------|-----------------|
| 順位 | . 有 | 養波 | 波向 | 風向 | 風速 | | 起時 | | 流向 | 流速 | 潮位 | 潮位偏差 | 要因 | |
| MRT. | · 波高(m) | 周期(秒) | 拟门门 | /±X[H] | (m/s) | | Æ | <u>r</u> μ.d. | | (/ILIHJ | (cm/s) | (cm) | (cm) | 安 凸 |
| | 1.19 | 4.2 | SSE | S | 20.5 | 5月 | 28 | 日 | 20 時 | NW | 8 | 179 | 21 | 前線を伴う低気圧の通過 |
| | 1.04 | 3.6 | S | S | 18.7 | 3 月 | 29 | 日 | 11 時 | SE | 17 | 100 | 45 | 前線の通過 |
| : | 0.97 | 3.6 | SSE | S | 17.6 | 4 月 | 9 | 日 | 11 時 | ENE | 12 | 36 | 29 | 前線を伴う低気圧の通過 |
| 4 | 0.73 | 3.2 | SSE | S | 17.5 | 5月 | 16 | 日 | 18 時 | NW | 7 | 90 | 15 | 前線を伴う低気圧の通過 |
| 4 | 0.73 | 3.4 | SSE | SSW | 15.4 | 7月 | 1 | 日 | 7 時 | WSW | 18 | 88 | 24 | 前線を伴う低気圧の通過 |
| (| 0.72 | 3.3 | SSE | - | - | 9月 | 22 | 日 | 11 時 | NNE | 1 | 143 | 18 | 冬型気圧配置 |
| , | 0.71 | 3.1 | S | SSW | 13.5 | 1月 | 14 | 日 | 21 時 | N | 1 | 152 | 19 | 前線を伴う低気圧の通過 |
| | 0.71 | 3.1 | SSE | S | 15.0 | 5月 | 11 | 日 | 17 時 | NW | 6 | 115 | -3 | 前線を伴う低気圧の通過 |
| 9 | 0.68 | 3.0 | SSE | SSW | 15.1 | 3 月 | 17 | 日 | 14 時 | ESE | 19 | 82 | 18 | 前線を伴う低気圧の通過 |
| 10 | 0.67 | 3.4 | Е | NE | 11.1 | 5月 | 8 | 日 | 18 時 | SE | 6 | 190 | 2 | 前線の通過 |

※いずれも、毎正時の観測値を用いた。

※「-」は欠測。

有義波: 観測単位時間 (20 分間) 中に観測されるたくさんの波の集まり (およそ 100~200 個) の中で、波高の大きな方から数えて 1/3 までの数の波について波高、周期をそれぞれ平均した仮想的な波で、人間が目で見た感覚に近い値が得られるとされています。 1/3 最大波とも呼ばれ、港湾構造物などの計画・設計に用いられています。

潮位・潮流の観測結果

高潮位順位表 令和6年(2024年)

亩古港波浪組測所

| | | | | | | | | | | | | 果尽倦似似慨侧別 |
|----|---------|-------|---------|------|------|-------|-------|-------|-----------|--------|--------|----------|
| | | | 潮位(AP上) | | 起 | 時に最も | | | | | | |
| 順位 | 月日 | 時分 | 例(MP上) | 潮位偏差 | 21.4 | 風速 | 有: | 義波 | Veta u.f. | Na. 1. | 流速 | 備考 |
| | | | (cm) | (cm) | 風向 | (m/s) | 波高(m) | 周期(秒) | 波向 | 流向 | (cm/s) | |
| 1 | 10月 19日 | 17:11 | 223 | 24 | - | - | 0.25 | 3.0 | NE | WNW | 9 | 10月17日 望 |
| 2 | 8月19日 | 17:55 | 220 | 11 | SSE | 6.0 | 0.29 | 2.9 | NNW | NW | 2 | 8月20日 望 |
| 3 | 8月18日 | 17:17 | 218 | 14 | SE | 3.9 | 0.19 | 3.3 | С | W | 19 | 8月20日 望 |
| 4 | 9月 20日 | 18:10 | 217 | 10 | - | - | 0.29 | 2.8 | ENE | W | 4 | 9月18日 望 |
| 4 | 9月21日 | 18:35 | 217 | 10 | S | 10.9 | 0.43 | 2.7 | ESE | SSW | 6 | |
| 6 | 8月22日 | 6:09 | 216 | 5 | ESE | 4.0 | 0.20 | 2.5 | С | SW | 2 | 8月20日 望 |
| 7 | 8月22日 | 19:05 | 215 | 7 | S | 9.3 | 0.28 | 3.0 | SSE | WNW | 10 | 8月20日 望 |
| 7 | 9月 19日 | 5:27 | 215 | 3 | - | - | 0.18 | 3.6 | С | W | 1 | 9月18日 望 |
| 9 | 9月 18日 | 4:38 | 214 | 8 | ī | - | 0.19 | 3.3 | С | SW | 4 | 9月18日 望 |
| 9 | 9月22日 | 19:00 | 214 | 19 | - | - | 0.18 | 3.4 | С | ESE | 11 | |

[※]高潮位の出現日の前後2日以内に朔望の日がある場合は、それを備考欄に示した。

潮位偏差順位表 令和6年(2024年)

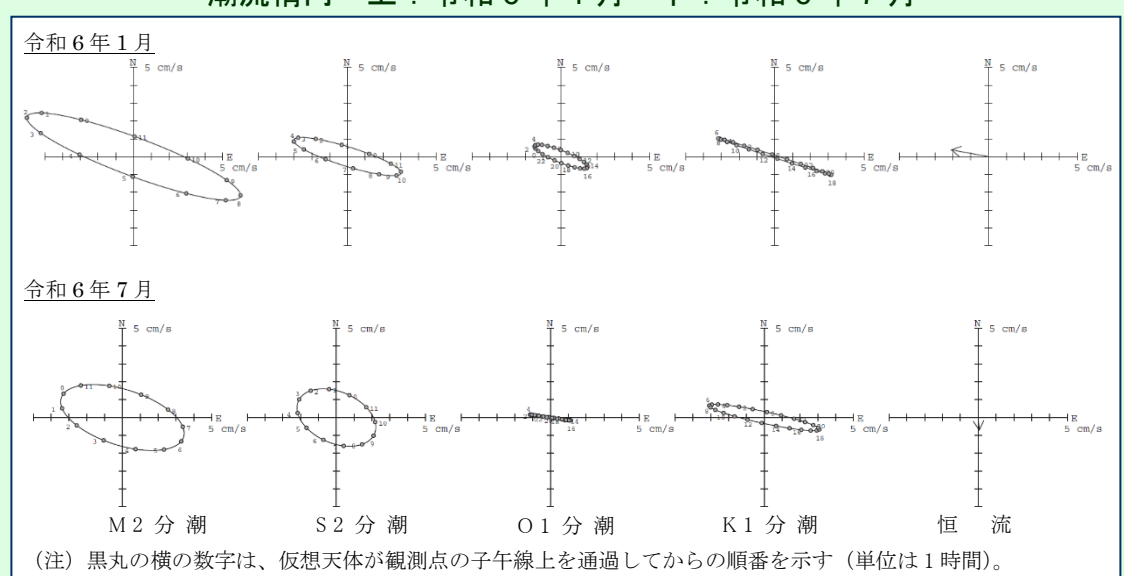
東京港波浪観測所

| | | | | | | | | | | | | | | | | | /k // TE 1/2 1/2 (b) 1/3/ |
|----|------|----|---|------|------------|---------------|-----|-------------|--------|-----|-------|-----------|--------|-----|-----|--------|---------------------------|
| | | | | | 潮位 | 潮位 | 最大 | 風速 | 最低気圧 | | 風速 | 有; | 兔 波 | | | 流速 | |
| 順位 | | 起 | 時 | | 偏差 (cm) | (AP上) (cm) | 風向 | 風速 (m/s) | (hPa) | 風向 | (m/s) | 波高 (m) | 周期 (秒) | 波向 | 流向 | (cm/s) | 要因 |
| 1 | 3 月 | 29 | 日 | 10 時 | 46 | 134 | S | 10.2 | 1001.6 | SSE | 16.3 | 0.86 | 3.5 | ESE | ESE | 33 | 前線の通過 |
| 2 | 4月 | 9 | 日 | 12 時 | 33 | 45 | S | 11.0 | 1000.8 | SSW | 12.1 | 0.62 | 3.3 | ESE | NE | 19 | 前線を伴う低気圧の通過 |
| 2 | 9月 | 22 | 日 | 13 時 | 33 | 127 | SSW | 8.0 | 1001.2 | - | - | 0.56 | 3.5 | SE | NE | 17 | 前線を伴う低気圧の通過 |
| 4 | 5月 | 28 | 日 | 23 時 | 31 | 191 | S | 10.2 | 994.6 | SSW | 18.7 | 1.16 | 3.9 | SSE | ESE | 6 | 前線を伴う低気圧の通過 |
| 5 | 11 月 | 27 | 日 | 5 時 | 29 | 159 | SSW | 6.5 | 1003.3 | - | - | 0.14 | 3.7 | - | SE | 8 | 前線の通過 |
| 6 | 10 月 | 19 | 日 | 21 時 | 28 | 121 | NW | 5.7 | 1008.0 | - | - | 0.16 | 3.3 | - | Е | 14 | 前線を伴う低気圧の通過 |
| 7 | 1月 | 14 | 日 | 22 時 | 25 | 117 | SSW | 7.3 | 1010.8 | SSW | 16.2 | 0.70 | 3.1 | SSW | Е | 14 | 冬型気圧配置 |
| 7 | 8月 | 12 | 日 | 12 時 | 25 | 164 | S | 7.2 | 998.3 | S | 11.1 | 0.29 | 2.7 | S | SE | 17 | 台風5号 |
| 9 | 3 月 | 20 | 日 | 8 時 | 24 | 148 | NW | 12.9 | 992.8 | SW | 8.8 | 0.40 | 2.9 | ESE | W | 9 | 日本海低気圧 |
| 9 | 3 月 | 26 | 日 | 17 時 | 24 | 198 | N | 6.1 | 1001.1 | N | 6.1 | 0.23 | 3.0 | - | WNW | 10 | 前線を伴う低気圧の通過 |
| 9 | 5月 | 16 | 日 | 20 時 | 24 | 119 | S | 9.4 | 1001.4 | SSW | 15.0 | 0.72 | 3.2 | SE | W | 8 | 前線を伴う低気圧の通過 |
| 9 | 7月 | 1 | 日 | 7 時 | 24 | 88 | SSW | 8.9 | 999.2 | SSW | 15.4 | 0.73 | 3.4 | SSE | WSW | 18 | 前線を伴う低気圧の通過 |
| 9 | 10 月 | 11 | 日 | 1 時 | 24 | 115 | SE | 4.7 | 1013.6 | - | - | 0.09 | 3.0 | - | WSW | 2 | 前線を伴う低気圧の通過 |
| 9 | 12 月 | 31 | 日 | 13 時 | 24 | 152 | NNW | 5.8 | 999.7 | - | - | 0.23 | 2.7 | - | WSW | 3 | 前線を伴う低気圧の通過 |

[※]最大風速及び最低気圧は気象庁(東京:北の丸)の気象記録で、それぞれの擾乱中の極値である。

波向の「C」は静穏(波高25cm未満)を表す。

潮流楕円 上:令和6年1月 下:令和6年7月



なお、「-」は欠測、波向のCは静穏である。

[「]一」は欠測、空欄は観測対象外である。